

# 2023年10月国庆高二地理作业

学校: \_\_\_\_\_ 姓名: \_\_\_\_\_ 班级: \_\_\_\_\_ 考号: \_\_\_\_\_

## 一、选择题组

中学地理小组到某综合试验区开展研学活动,在科研人员指导下,运用基本农田地面监测系统对区域内气象要素、空气质量、土壤、水质、病虫害等进行监测和数据采集,了解该系统在农业方面的应用。北京时间18:14研学活动结束时日落正西。完成下面小题。

1. 基本农田地面监测系统提供的信息主要应用于 ( )

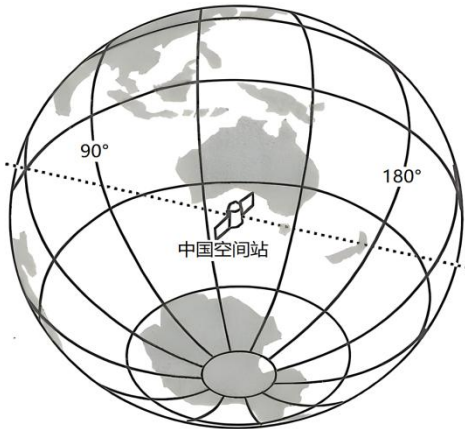
①预报天气 ②灌溉施肥 ③改变熟制 ④防灾减灾

- A. ①②      B. ①③      C. ②④      D. ③④

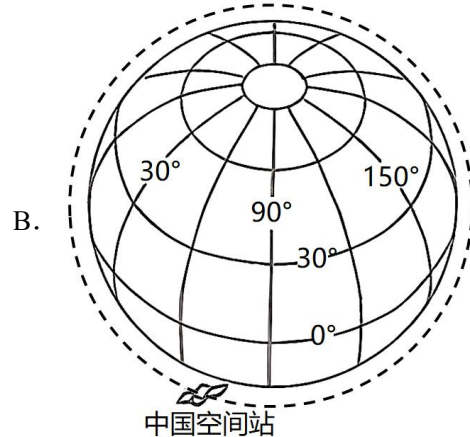
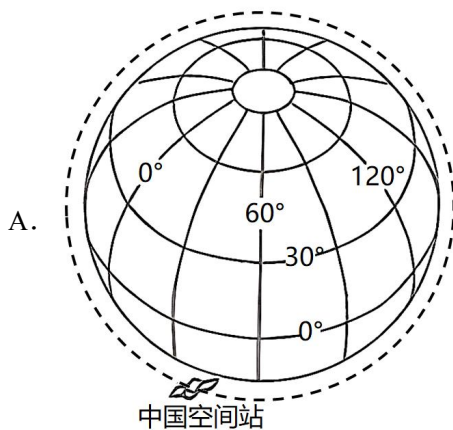
2. 该试验区位于 ( )

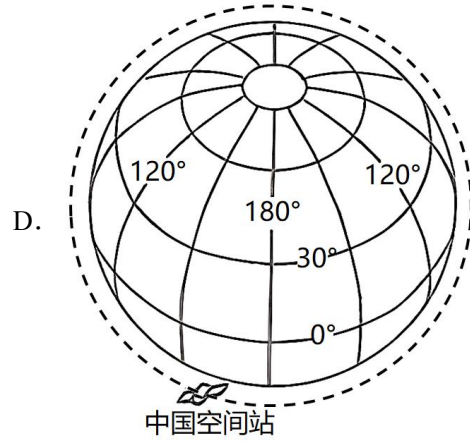
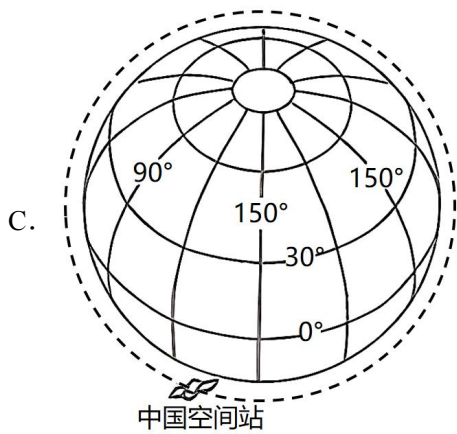
- A. 黄淮海平原      B. 三江平原      C. 吐鲁番盆地      D. 河套平原

2022年4月27日黎明时分,某地出现金星、火星、木星与土星“四星伴月”的天文现象。此时中国空间站过境该地上空,与“四星伴月”同框,形成壮美景观。下图为“某时刻中国空间站在轨位置上方俯视示意图”。据此完成下面小题。



3. 与图示时刻中国空间站在轨位置相符的是 ( )

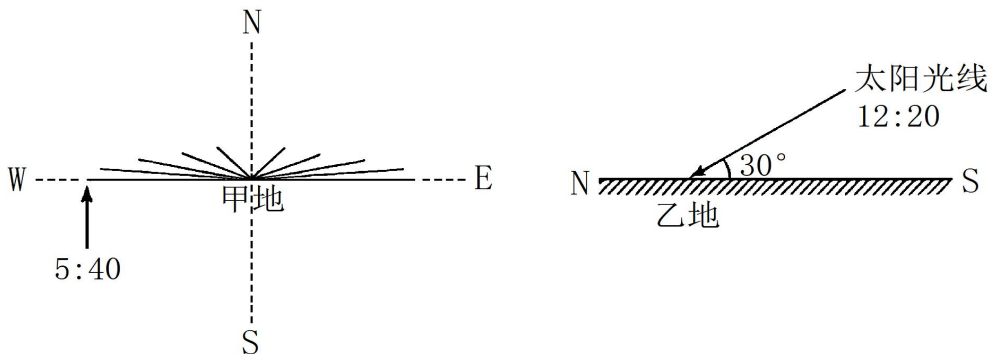




4. “四星伴月”这一天文现象难得一见，主要是因为各天体（ ）

- A. 自转周期不同    B. 体积大小不同    C. 自转方向不同    D. 公转周期不同

对日影和太阳高度变化的观测可以判断地理位置、地方时等要素。左图为甲地某日日出至日落期间标杆的日影变化示意图，当日影朝正北方向时，标杆长度与其日影长度相等。右图为乙地同一日正午时刻的太阳高度示意图。图中时间均为北京时间。据此完成下面小题。



5. 观测当日（ ）

- A. 甲地昼长夜短    B. 乙地昼短夜长  
C. 甲地昼长大于乙地    D. 甲乙两地昼夜等长

6. 甲地位于乙地（ ）

- A. 东南    B. 西南    C. 东北    D. 西北

某日，小明在互联网上看到世界各地好友当天发来的信息：

甲：温暖的海风夹着即将到来的夏天的味道扑面而来。

乙：冬季临近，金黄的落叶铺满了一地。

丙：又一次入秋失败了，这还是我四季分明的家乡吗？

丁：又是黑夜漫长的季节，向北望去，小城上空的极光如彩色帷幕般挂在夜空。

据此完成下面小题。

7. 以上四人所在地从北到南的排列顺序是 ( )

- A. 甲乙丙丁      B. 丁乙丙甲      C. 丁丙甲乙      D. 甲丙乙丁

8. 当天可能是 ( )

- A. 4月28日      B. 6月28日      C. 9月2日      D. 11月2日

某日我国M城市的中学生小强进行太阳视运动轨迹观测,北京时间13时小强观测到该日最大太阳高度角为 $79^\circ$ ,20时太阳高度角为 $-1^\circ$ 。据此完成下面小题。

9. 该日可能为 ( )

- A. 春分日      B. 夏至日      C. 秋分日      D. 冬至日

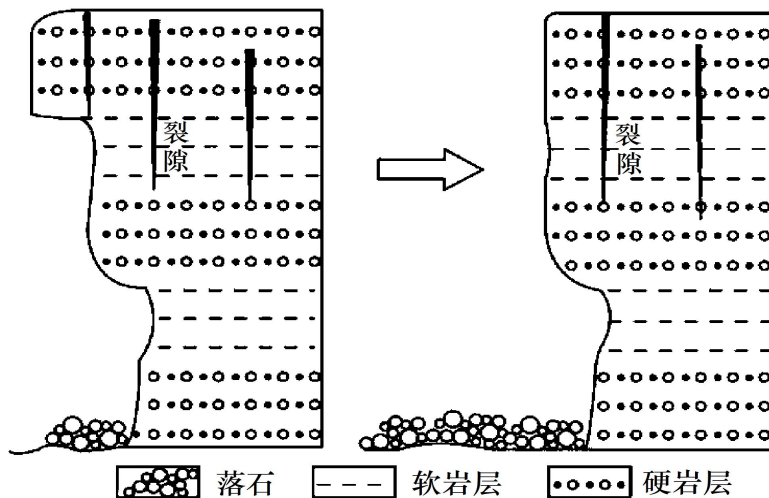
10. 一年中,该地 ( )

①冬至日夜长约为14小时②冬至日昼长约为14小时

③夏至日夜长约为14小时④夏至日昼长约为14小时

- A. ①②      B. ③④      C. ①④      D. ②③

某中学学生在山西省太行山青龙峡景区研学活动中发现,这里是典型高山峡谷地貌,两岸岩壁直立,软硬岩层交互,陡壁下常有崩塌物堆积,崩塌物主要来自硬岩层。图是同学们绘制的岩体崩塌过程示意图。据此完成下面小题。



11. 崩塌物主要来自硬岩层,是因为 ( )

- A. 软岩受风化剥蚀更快      B. 硬岩的重力作用更大  
C. 软岩抗侵蚀能力更强      D. 硬岩水土流失更严重

12. 同学们提出的以下预防崩塌危害措施中,不能运用地理信息系统完成的是 ( )

- A. 岩土变形预警      B. 危险岩体清除  
C. 气象水文预报      D. 游客行为监管

1881年,在埃及矗立了3500多年的一座花岗岩纪念碑从开罗转运至美国纽约。但仅仅过了75年,该纪念碑表面的文字就难以辨认。据此完成下面小题。

13. 该纪念碑在开罗得以长期保存的有利条件是 ( )

- A. 地壳稳定      B. 远离海洋      C. 气候干燥      D. 地形平坦

14. 到美国纽约 75 年后, 该纪念碑表面的文字就难以辨认, 可能遭受了 ( )

- A. 风力侵蚀      B. 流水侵蚀      C. 酸雨侵蚀      D. 生物风化

在阿尔卑斯山脉南侧某些狭窄、少风的河谷上, 分布着一种独特的石顶泥柱景观(下图)。它是由夹杂石块的堆积物在外力作用下形成的。泥柱由坚固的泥土组成, 高度多在 6—30 米之间, 其顶端盖有一个石块, 往往顶端石块越大, 泥柱越高。表层无石块覆盖的地方, 泥土易受侵蚀, 难以形成泥柱。据此完成下面小题。



15. 石顶泥柱的石块在其形成所起的作用主要是减弱 ( )

- A. 风力侵蚀      B. 流水侵蚀      C. 冰川侵蚀      D. 雨水侵蚀

16. 最有可能破坏此地石顶泥柱景观的是 ( )

- A. 寒潮      B. 地震      C. 洪水      D. 虫蛀

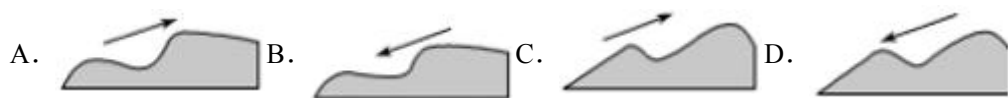
如图为雅鲁藏布江中游宽谷的爬升沙丘。读图完成下面小题。



17. 该沙丘位于 ( )

- A. 冲积扇      B. 洪积平原      C. 三角洲      D. 河漫滩

18. 正确示意沙丘剖面及其外力作用主要方向的 ( )



世界奇观“棋盘滩”分布在广西田东县莲花山的一处河道中, 长约 210 米, 宽 150 米, 由一块块整齐浮出水面的坚硬石英砂岩组成。流水顺着岩石节理侵蚀, 形成了界线分明的天然“大棋盘”, 图 1 为棋盘滩景观图, 图 2 示意莲花山地质构造图, 据此完成下面小题。



图1

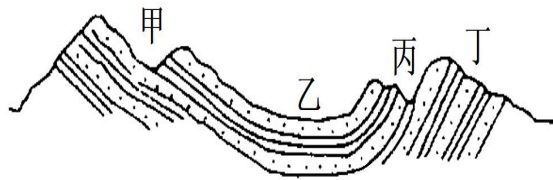


图2

19. “棋盘滩”最可能位于图 2 中的 ( )
- A. 甲地            B. 乙地            C. 丙地            D. 丁地
20. 推断石英砂岩逐渐演化成“棋盘滩”的地理过程是 ( )
- A. 沉积作用 流水侵蚀 水平挤压 节理发育
- B. 沉积作用 水平挤压 节理发育 流水侵蚀
- C. 变质作用 流水侵蚀 水平挤压 节理发育
- D. 变质作用 水平挤压 节理发育 流水侵蚀

下图为某地质构造剖面景观照片，据此完成下面小题。



21. 从图中可以直接观察到 ( )
- A. 褶皱            B. 两侧岩层向上拱起 C. 断层            D. 中间岩层断裂上升
22. 图中地质构造的形成，主要是受到 ( )
- A. 张力作用      B. 压力作用          C. 滑坡作用          D. 变质作用
23. 关于图中岩层的说法，正确的是 ( )
- A. 甲比乙形成的时间更晚            B. 甲乙丙岩层具有大量气孔
- C. 丙比乙的岩层厚度更大            D. 甲与乙错位距离约为 1 米

我国某地纬度较高，沙尘暴多发。2022 年 11 月 24 日，某地理小组到该地区进行考察，后来某成员在日记中写道：“向北翻过前面阻隔的大山，进入大山以北地势相对平坦的一处地形区，迎风前行 3 千米，风势渐大，气温渐低，远处天边出现黄色的移动

沙墙，能见度显著降低。”据此完成下面小题。

24. 该地理小组遇到的大风的形成是由于（ ）

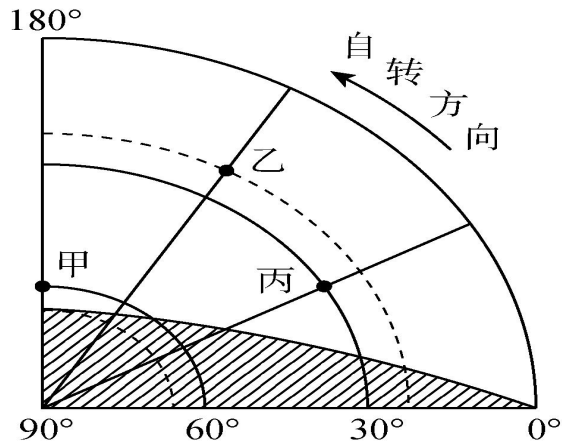
- A. 暖锋过境      B. 冷锋过境      C. 准静止锋过境      D. 气旋过境

25. 该地沙尘暴多发的自然原因是（ ）

- A. 暖锋频繁，风力大      B. 畜牧业发展快      C. 气候干旱，多大风      D. 地势起伏较大

## 二、综合题

26. 下图中的阴影部分表示黑夜,其余部分表示白昼。读图,完成下列问题。



地球部分地区昼夜分布示意图

(1)读图判断,此时太阳直射点的地理坐标是\_\_\_\_,日期为\_\_\_\_前后。

(2)该日甲、乙、丙三地昼长由长到短的排序为\_\_\_\_。

(3)一年中甲、乙、丙三地昼夜长短的变化幅度是（ ）。(选填正确项的字母代号)

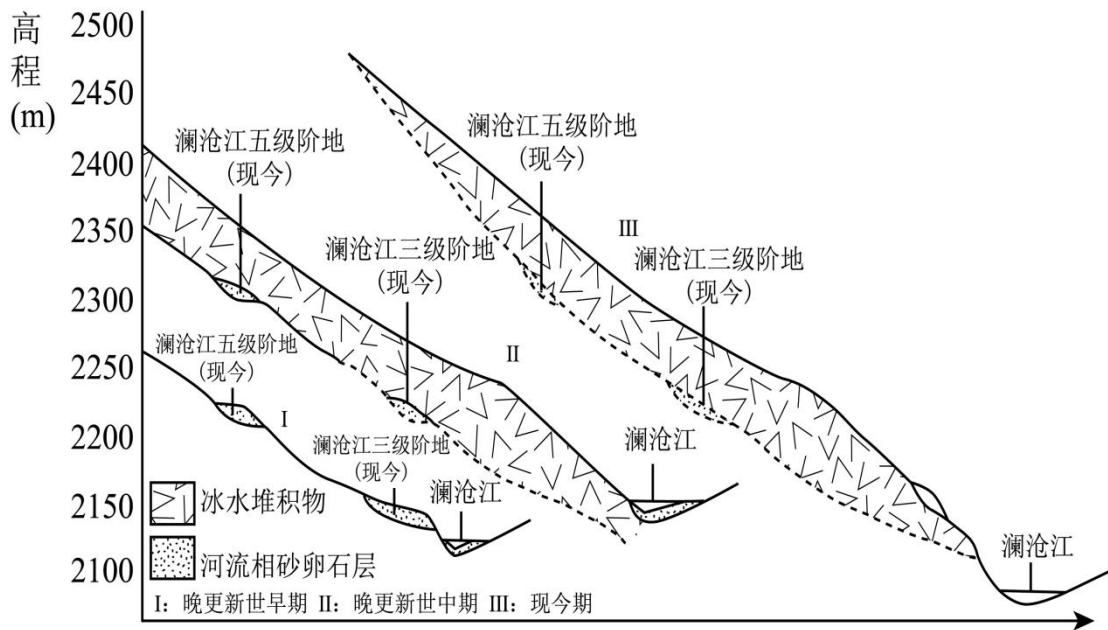
- A. 甲地最大      B. 乙地最大      C. 丙地最大      D. 三地相同

(4)此时,甲地地方时为\_\_\_\_,北京时间为\_\_\_\_。

(5)计算甲、乙两地此时的正午太阳高度:甲\_\_\_\_,乙\_\_\_\_。

27. 阅读图文材料,回答下列问题。

古水水电站位于澜沧江上游的高山峡谷中,是我国西部拟建的又一大型水电站。据科学勘探,拟建坝址上游约 500 米的左岸凸出山脊部位分布有一大型冰水堆积体,在堆积体前缘残留着晚更新世中晚期因阻江而形成的河流相砂卵石层。下图为该水电站坝前地质结构演化示意图。



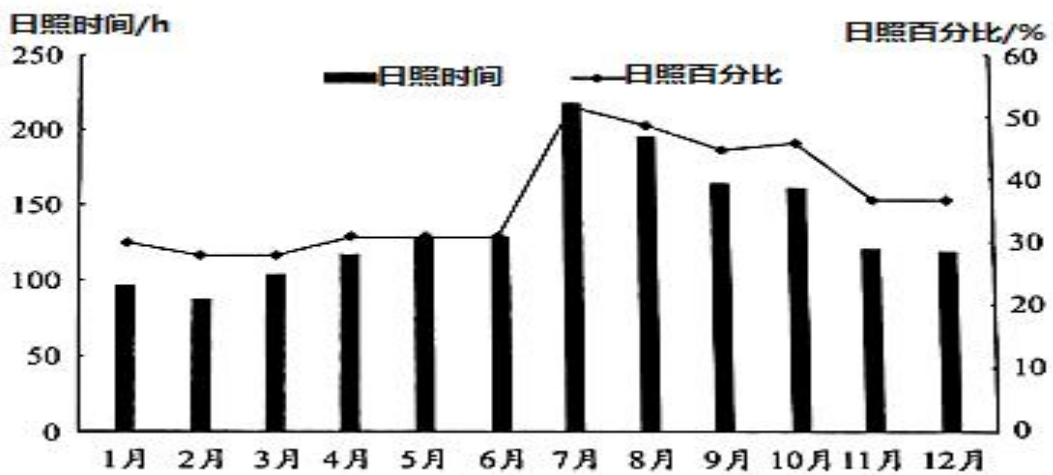
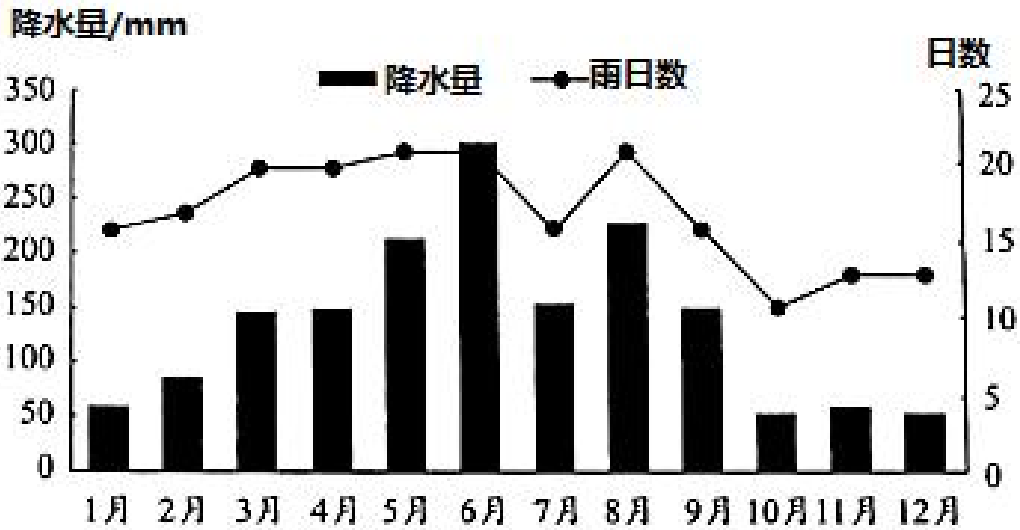
(1) 判断图示三级阶地、五级阶地、冰水堆积体形成的先后顺序并说明理由。

(2) 指出古水电站附近河段在图示时段的水位变化特点及原因。

(3) 分析冰水堆积物之上残留的河流相砂卵石层的形成过程。

28. 阅读图文资料，完成下列要求。

福安市位于福建省东北部，三面环山，一面临海。福安市穆阳水蜜桃主要分布在福安市西部的穆阳河流域两岸穆阳、穆云等地区。穆阳水蜜桃果大核小，果实成熟期在6月~8月，其色泽鲜明、外观美观、肉质柔软，多汁、味甜、浓香、风味独特，有“穆阳仙桃”“闽东珍果”的美誉，深受消费者青睐。下图为1990~2019年福安月均降水量及雨日数、日照时间及日照百分比分布情况。



- (1) 指出福安日照时间的季节分布差异，并说明原因。
  
- (2) 从气候角度分析穆阳水蜜桃品质优异的原因。
  
- (3) 简析穆阳流域两岸大量种植水蜜桃的优势自然条件。



### 参考答案:

1. C 2. A

【解析】1. 预报天气主要依靠云层的遥感数据，①错误；基本农田地面监测系统能够获取土壤、水质、农作物的长势信息，可以为灌溉施肥提供依据，②正确；基本农田地面监测系统不能改变热量条件，不会改变熟制，③错误；基本农田地面监测系统可以了解病虫害信息，能够防灾减灾，④正确。所以选 C。

2. 根据材料信息“北京时间 18:14 研学活动结束时日落正西”可知，此时日落正西，说明为春分或者秋分，此时当地日落地方时应为 18 点，北京时间为 18:14，说明当地与 120°E 经度差为 3.5°，黄淮海平原符合，A 正确；三江平原、吐鲁番盆地、河套平原不符合，BCD 错误。所以选 A。

3. C 4. D

【解析】3. 由图中陆地轮廓形状可知图中极点为南极点，因此可知图中 90°为东经度，图中每相邻两条经线经度相差 30°，故中国空间站位于 120°E 以东附近，选项中 A 图中的中国空间站位于 30°E 以东附近，A 错误；B 图中中国空间站位于 60°E 以东附近，B 错误；D 图中中国空间站位于 150°E 以东附近，D 错误；C 图中中国空间站位于 120°E 以东附近，C 正确。故选 C。

4. “四星伴月”这一天文现象难得一见，主要是因为各天体公转周期不同，难易同框，D 正确；难以同框与自转周期不同、体积大小不同、自转方向不同无关，ABC 错误。故选 D。

5. D 6. A

【解析】5. 读图可知，甲地太阳从正东升起，正西落下，昼夜平分；甲地正午日影朝北，说明太阳直射点没有直射甲地。据此可知，该日为春秋分日，太阳直射赤道，全球昼夜平分，甲乙两地昼夜等长。D 正确，ABC 错误，故选 D。

6. 根据上题可知，此日为春秋分日，太阳直射赤道，全球昼夜平分，地方时 6 时日出，18 时日落。甲地北京时间 5:40 日影朝正西，正值日出，因此可推知甲地位于 125°E；乙地日影朝正北方向时为正午 12:00，对应北京时间 12:20，可知乙地位于 115°E，因此甲地位于乙地偏东方。甲乙两地该日正午日影均朝北，说明两地位于北半球。甲地当日影朝正北方向时，标杆长度与其日影长度相等，说明其正午太阳高度为 45°，而乙地正午太阳高度为 30°，小于甲地正午太阳高度，因此甲地纬度更低，位于乙地偏南方。综上所述，甲地位于乙地的东南方。A 正确，BCD 错误。故选 A。

7. B 8. D

【解析】7. 根据丁的描述判断，向北望去，小城上空有极光，则可知，丁地位于北半球高纬度地区，此时北极地区出现极夜，为北半球冬半年；甲逐渐由春到夏，说明该地位于南半球；乙地将由秋季进入冬即，说明乙地位于北半球，且较丁地纬度低；丙地入秋失败，说明处于由夏至秋的阶段，应位于北半球，且较乙地纬度低，所以综合判断从北向南依次为丁乙丙甲，故选 B。

8. 由上题判断，丁地出现极夜现象，且位于北半球，说明太阳直射点位于南半球，结合选项，4 月 28 日，6 月 28 日，9 月 2 日，太阳直射点位于北半球，故选 D。

9. B 10. C

【解析】9. 结合材料“北京时间 13 时小强观测到该日最大太阳高度角为 79°”，由此可知该地正午为北京时间 13 时，该地位于我国 M 城市，正午太阳高度为 79°，可判断正午太阳最可能在正南方。结合材料“20 时太阳高度角为-1°”，由此可知该地约 20 点日落，说明昼长夜短，日落方向在西北方。根据日落太阳位于西北方向，可知该日最可能为夏至日，B 正确，ACD 错误，故选 B。

10. 根据材料“北京时间 13 时小强观测到该日最大太阳高度角为 79°”，由此可知北京时间 13 时是其正午时间。结合材料“20 时太阳高度角为-1°”，由此可知该地 20 时左右日落。根据正午时间和日落时间可知，当地昼长约 14 小时 $[=(日落时间-正午) \times 2]$ ，该城市位于我国，因此该日是夏至日，夏至日昼长约为 14 小时。根据夏至日的昼夜长短情况可以推算出冬至日夜长约为 14 小时，①④正确，C 符合题意，ABD 错误，故选 C。

11. A 12. B

【解析】11. 软岩层岩性软，更容易被侵蚀，使得软岩层上部的坚硬的岩层失去支撑，在重力作用下崩塌，A 正确；重力作用受岩层所处高度的影响，与岩性没有关系，B 错误；同等外力条件下，坚硬的岩层抗侵蚀的能力更强，水土流失较软岩层更轻，CD 错误。所以选 A。

12. 岩土变形预警可以运用 GPS 系统完成，A 不符合题意；危险岩体清除需要用工程机械，地理信息系统不能完成，B 符合题意；气象水文预报可以运用 RS 系统完成，C 不符合题意；游客行为监管可以运用 RS 系统完成，D 不符合题意。所以选 B。

13. C 14. C

【解析】13. 结合材料，纪念碑被侵蚀和保存良好主要是因为埃及和美国的自然环境存在巨

大差异，埃及气候干燥，对纪念碑的保存有利，C 正确；地壳稳定与本题无关，排除 A；开罗距离海洋并不远，排除 B；地形平坦不是纪念碑保存时间长的原因，排除 D。故选 C。

14. 纪念碑在美国 75 年就被侵蚀的较为严重，是受到外力作用的侵蚀。风力侵蚀埃及较美国强，排除 A；花岗岩较为坚硬，需要较长时间，而作为文物也不可能被放到水里，排除 B；美国纽约位于美国东北工业区，环境污染严重，酸雨对石块的侵蚀严重，C 正确；生物风化对于岩石的侵蚀作用需要时间较长，排除 D。故选 C。

15. D 16. B

【解析】15. 其顶端盖有一个石块，往往顶端石块越大，泥柱越高。表层无石块覆盖的地方，泥土易受侵蚀，难以形成泥柱。由此可知，顶部的石块主要减弱了来自于顶部的垂直于地面的侵蚀作用，故 D 正确。而风力侵蚀、冰川侵蚀、流水侵蚀与地面相平，故 ABC 错误。故答案选 D。

16. 该地区地处板块的交界处，位于火山地震带上，多地震，所以此地的石顶泥柱易受到地震的破坏，故 B 正确；此地位于阿尔卑斯山南侧，位于寒潮背风坡，寒潮影响小，故 A 错误。该地貌主要分布于狭窄的山谷，受水面积小，难以形成洪水，故 C 错误；虫蛀对石顶泥柱有破坏，但不是破坏最严重的。故 D 错误。故答案选 B。

17. D 18. C

【分析】17. 一般冲积扇位于山前开阔地段；图中沙丘地势高、坡度大，不属于冲积平原；三角洲位于河口地区，而题干明确告知为雅鲁藏布江中游宽谷，再结合景观图可确定爬升沙丘位于河漫滩，ABC 错误，D 正确。据此分析本题选 D。

18. 爬升沙丘是指沙丘移动受山地阻挡时，沙在风力作用下沿坡面爬升形成的沙丘，沙丘迎风坡面较缓，背风坡面较陡，再结合景观图可确定选 C 项正确。ABD 错误。据此分析本题选 C。

19. B 20. B

【解析】19. 据材料“棋盘滩由一块块整齐浮出水面的坚硬石英砂岩组成。流水顺着岩石节理侵蚀，形成了界线分明的天然大棋盘”，可以判断出棋盘滩要求岩层厚度大，成分单一且位于河谷便于流水侵蚀，图 2 中乙处为向斜山谷，出露岩层厚且均一符合要求，而其他位置都不能完全符合要求，B 正确；ACD 错误。故选 B。

20. 据材料“棋盘滩由一块块整齐浮出水面的坚硬石英砂岩组成。流水顺着岩石节理侵蚀，形成了界线分明的天然大棋盘”，可以判断出棋盘滩形成的地理过程是：首先经沉积作用形成石英砂岩，后由于地壳抬升导致水平挤压，形成许多剪切节理，节理发育后经流水侵蚀形成“棋盘滩”景观图，B 正确；ACD 错误。故选 B。

21. C 22. A 23. D

【解析】21. 读图可知，图示中间甲、丙处岩层沿着断裂面发生断裂并向下错位，为断层，C 正确，D 错误；褶皱岩层是弯曲变形的，或向上拱起、或向下弯曲，AB 错误。故选 C。

22. 读图可知，图示甲、丙处岩层沿着断裂面发生断裂并向下错位，为断层，此处断层是岩层受到张力，断裂下陷导致的，故 A 正确；受压力作用岩层会弯曲变形，B 错误；滑坡作用、变质作用一般不会使岩层断裂，CD 错误。故选 A。

23. 读图可知，甲、乙为同一岩层，形成时间一样，A 错误；甲、乙、丙为沉积岩，没有大量的气孔，B 错误；乙的岩层较丙的岩层厚，C 错误；读图可知，甲与乙错位有大半个人，距离约 1 米，D 正确。故选 D。

24. B 25. C

【解析】24. 该地理小组考察的时间为冬半年，且该天气系统过境时有大风、降温天气，故为冷锋过境，B 正确，ACD 错误，故选 B。

25. 气候干旱，降水少，地表物质疏松，为沙尘暴的形成提供物质来源，大风天气为沙尘暴的形成提供动力，C 正确；沙尘暴多由冷锋引起，暖锋风力较小，A 错误；畜牧业发展快属于人为原因，B 错误；地势起伏大会削减风力，不是产生沙尘暴的必要条件，D 错误。故选 C。

26. (1) (23°26'S, 180°) 12 月 22 日

(2) 乙 > 丙 > 甲

(3) A

(4) 12 时 8 时

(5) 6°34' 43°08'

【分析】本题以光照图为材料设置试题，涉及光照图判读、昼夜长短、正午太阳高度计算等相关内容，考查学生读图分析、运用地理知识与基本技能的能力，区域认知、综合思维素养。

【详解】(1) 由图可知，地球逆时针方向自转，可以判断该半球为北半球，图中北极圈以内出现极夜现象，所以日期为 12 月 22 日，太阳直射南回归线，180°经线是昼半球的中央经线，即为正午时刻，所以太阳直射点的地理坐标为(23°26'S, 180°)。

(2) 从图中可以看出纬度由低到高的顺序为：乙丙甲，冬至日北半球纬度越高白昼越短，

所以三地白昼由长到短的顺序：乙>丙>甲。

(3) 纬度越高昼夜长短变化幅度越大，甲乙丙三地中，甲地纬度最高，所以甲地昼夜长短的变化幅度最大，A 正确，排除 BCD。故选 A。

(4) 从图中可以看出甲地位于白昼的中线上，所以甲地的地方时是 12:00，北京时间即 120°E 的地方时为 12:00-(180°-120°)=15°=8:00。

(5) 此时，太阳直射点位于 23°26'S。甲地纬度为 60°N，甲地的正午太阳高度  $H=90^\circ-(60^\circ+23^\circ26')=6^\circ34'$ ；乙地纬度为 23°26'N，乙地正午太阳高度为

$H=90^\circ-(23^\circ26'+23^\circ26')=43^\circ08'$ 。

27. (1) 顺序：先形成五级阶地、再形成三级阶地，后形成冰水堆积体。理由：河流阶地形成于晚更新世早期，是因地壳抬升、河流下切而形成的堆积地貌，故先形成五级阶地、再形成三级阶地；冰水堆积体形成于晚更新世中期，是冰川融水搬运堆积而成，且覆盖在阶地之上，故其后形成。

(2) 阶段 I 到阶段 II 澜沧江水位变高，是因为地壳抬升，河床抬高，促使水位上升；阶段 II 到阶段 III 澜沧江水位（先因阻江而上升，后因下切侵蚀降低）降低，是因为在河流下切作用下，水位快速下降。

(3) 晚更新世中期的间冰期，冰水堆积体形成并被（冰川融水）不断向下搬运；造成江面过水断面被压缩甚至被堵，导致水位上升，流速减慢，在冰水堆积体上出现大量泥沙淤积，形成河流相砂卵石层；后来河流下切侵蚀，部分砂卵石层及其下覆冰水堆积体被流水侵蚀搬运，残留部分河流相砂卵石层。

【分析】本题以该水电站坝前地质结构演化示意图为背景材料，涉及河流阶地、地貌形成过程的相关知识，主要考查学生获取和解读地理信息、调动与运用地理知识，区域认知与综合思维的核心素养。

【详解】(1) 阶地形成过程中，是外力作用与内力作用共同作用的结果，阶地越高，说明形成的越早，故形成顺序是先形成五级阶地、再形成三级阶地，后形成冰水堆积体。理由：读图可知，根据图例，河流阶地形成于晚更新世早期，是因地壳抬升、河流下切而形成的堆积地貌，故先形成五级阶地、再形成三级阶地；冰水堆积体形成于晚更新世中期，是冰川融水搬运堆积而成，且覆盖在阶地之上，故其后形成。

(2) 水位的变化受河流补给类型的影响以及地貌形态的变化，阶段 I 到阶段 II 期间，澜沧江水位变高，主要是在地壳抬升影响下，河床发生变化，河床抬高，促使水位上升；阶段 II 到阶段 III 期间，水位变低，主要是在流水侵蚀作用下，河流下切使得河床加深，水位快速下降。

(3) 由材料可知，拟建坝址上游约 500 米的左岸凸出山脊部位分布有一大型冰水堆积体，在堆积体前缘残留着晚更新世中晚期因阻江而形成的河流相砂卵石层，故河流相砂卵石层是冰川作用密切相关。由于晚更新世中期的间冰期，气温升高，冰川融水向下搬运的能力增加，冰水堆积体形成，造成江面过水断面被压缩甚至被堵，导致水位上升，流速减慢，携带泥沙的能力减弱，在冰水堆积体上出现大量泥沙淤积，形成河流相砂卵石层；后期河流下切侵蚀，部分砂卵石层及其下覆冰水堆积体被流水侵蚀搬运，残留部分河流相砂卵石层。

28. (1) 季节分布差异：福安夏季（7、8 月）日照时间长，冬季（1、2 月）日照时间短，春秋季节居中。成因：夏季白昼最长；且 7、8 月受副热带高压影响，降水少，晴天多；春秋季节白昼时间居中；冬季白昼最短。

(2) 水蜜桃的果实成熟期在 6 月-8 月，此时福安气温高，日照时间长且强度大，水蜜桃光合作用强，制造养分多；山区夏季白天气温高，夜晚降温快，昼夜温差大，积累养分多，水果品质优异。

(3) 穆阳河流域两岸水源充足，便于灌溉；山地地形，宜林地广；山区夏季昼夜温差大，水果品质优异；山谷有利于降低寒潮、台风等气象灾害的危害。

【解析】本题以福建福安市为载体，考查日照时间的季节变化、农业区位条件等知识点，重点考查调动和运用地理知识的能力以及综合思维、区域认知等学科素养。

【详解】(1) 日照时间的季节分布特点及成因可结合两个坐标图来进行读图分析，特点可直接读出，夏季（7、8 月）日照时间长，冬季（1、2 月）日照时间短，春秋季节居中。成因可结合月均降水量、雨日数和昼夜长短及正午太阳高度的变化分析，夏季白昼最长，7、8 月受副热带高压影响，降水少，晴天多；春秋季节白昼时间居中；冬季白昼最短。

(2) 作物品质优异的气候条件可从光照、热量、昼夜温差等角度进行分析。6 月-8 月，该地气温高，日照时间长，光照强，水蜜桃光合作用强，制造养分多；山区夏季夜晚降温快，昼夜温差大，积累养分多，故水果品质优异。

(3) 作物种植的优势自然条件可从气候、地形、水源、土壤、灾害等方面进行分析。由材料可知，穆阳河流域两岸水源充足；三面环山，山地地形，宜林地广；山区昼夜温差大，水果品质优异；山谷盛行下沉气流，受寒潮、台风等气象灾害的危害小。

